

La structure peut être décrite comme résultant de l'imbrication étroite des deux sites différents du baryum.

Le polyèdre relatif à l'atome  $Ba_1$  est constitué de sept atomes de chlore et d'un atome d'oxygène (Fig. 5). Le baryum est au centre d'un prisme droit quasi régulier, dont la hauteur est orientée suivant une direction  $u$  perpendiculaire à  $Ox$  et faisant avec le plan  $xOy$  un angle d'environ  $25^\circ$ . Les six sommets des deux triangles isocèles qui en forment les bases sont respectivement occupés par cinq atomes de chlore ( $Cl_{11}$ ,  $Cl_{14}$ , et  $Cl_{15}$  de cote  $z = -0,11$ ,  $Cl_{21}$  et  $Cl_{22}$  de cote  $z = -0,30$ ) et un atome d'oxygène. Les distances baryum-chlore varient de 3,38 à 3,06 Å. Les deux autres atomes de chlore ( $Cl_{24}$  et  $Cl_{25}$ ) sont situés à 3,25 Å du baryum, les directions des liaisons étant presque perpendiculaires à deux faces du prisme. Au-delà de la troisième face du prisme mais à une distance beaucoup plus grande du baryum (4,63 Å) est situé un autre atome de chlore,  $Cl_{11}$  de cote  $z = -0,61$ .

Le polyèdre relatif à l'atome de baryum  $Ba_2$  est constitué de neuf atomes de chlore et d'un atome d'oxygène (Fig. 6). Le baryum est situé au centre d'un prisme dont la base inférieure est déformée et dont la hauteur est parallèle à l'axe  $Oz$ . Les bases sont des triangles équilatéraux, dont les sommets sont occupés par six atomes de chlore ( $Cl_{21}$ ,  $Cl_{22}$  et  $Cl_{23}$  pour la base supérieure,  $Cl_{24}$ ,  $Cl_{25}$  et  $Cl_{26}$  pour la base inférieure). Les distances baryum-chlore sont respectivement de 3,10 et 3,81 Å. Dans chacun des trois plans de symétrie de ce polyèdre et à une distance de 3,26 Å un autre atome de chlore est lié au baryum. L'atome d'oxygène est situé sur son axe de symétrie, légèrement en-dessous de la base inférieure et à une distance de 2,54 Å du baryum.

Les environnements polyédriques des atomes  $Ba_1$  et  $Ba_2$  possèdent quatre sommets communs, trois occupés par des atomes de chlore ( $Cl_{11}$ ,  $Cl_{24}$  et  $Cl_{25}$ ) le quatrième par l'atome d'oxygène.

A la Fig. 7 nous avons représenté l'environnement du baryum dans la variété orthorhombique de type  $PbCl_2$  du chlorure de baryum. La comparaison des Figs. 5, 6 et 7 montre que les deux types d'environnement du baryum dans  $Ba_4OCl_6$  dérivent nettement de celui qu'il possède dans  $BaCl_2$ .

On peut remarquer dans la structure étudiée l'environnement tétraédrique presque parfait des atomes d'oxygène par les atomes de baryum ( $Ba_1-O = 2,49$  Å et  $Ba_2-O = 2,54$  Å).

On peut noter également les sites octaédriques vacants formés par les six atomes de chlore ( $Cl_{11}$ ,  $Cl_{14}$ ,  $Cl_{15}$ ,  $Cl_{16}$ ,  $Cl_{17}$  et  $Cl_{18}$ ) autour de l'axe  $Oz$  (axe hélicoïdal  $6_3$ ).

D'une manière générale, les distances interatomiques sont en assez bon accord avec les valeurs théoriques calculées à partir des rayons ioniques proposés par Ahrens ( $Ba-Cl = 3,16$ ,  $Ba-O = 2,75$ ,  $Cl-Cl = 3,62$  Å). (Ahrens, 1952).

#### Références

- AHRENS, L. H. (1952). *Geochem. Cosmochim. Acta*, **2**, 155.  
 FRIT, B., MOAKIL CHBANY, M. & HAGENMULLER, P. (1968). *Bull. Soc. chim. Fr.* **1**, 127.  
 FRIT, B., TANGUY, B. & HAGENMULLER, P. (1966). *Bull. Soc. chim. Fr.* **7**, 2190.  
*International Tables for X-ray Crystallography* (1962). Vol. III. Birmingham: Kynoch Press.  
 SUZUKI, T. (1960). *Acta Cryst.* **13**, 279.

*Acta Cryst.* (1970). **B26**, 19

## Die Kristallstruktur des Tetranatrium-dekafluorotristannat(II), $Na_4Sn_3F_{10}$

VON G. BERGERHOFF UND L. GOOST

*Anorganisch-chemisches Institut der Universität, 53 Bonn, Meckenheimer Allee 168, Deutschland*

(Eingegangen am 23. Dezember 1968 und wiedereingereicht am 7. März 1969)

The crystal structure of  $Na_4Sn_3F_{10}$ , the only compound in the system  $NaF-SnF_2-H_2O$  besides  $NaSn_2F_5$ , has been determined by Patterson and Fourier syntheses. The structure consists of  $Sn_3F_{10}$  groups formed by connected and distorted tetragonal pyramids  $SnF_4$  with Sn at the top. These groups are arranged in such a manner that there is an empty channel along  $c$ .

### Einleitung

Im System  $NaF-SnF_2-H_2O$  haben wir – wie schon Donaldson & O'Donoghue (1964) – zwei Verbindungen gefunden. Die Struktur des  $NaSn_2F_5$  (A) wurde bereits von McDonald, Larson & Cromer (1964) untersucht. Die zweite Verbindung erwies sich bei der

vorliegenden Untersuchung als  $Na_4Sn_3F_{10}$  (B). In Fig. 1 sind die Molverhältnisse der Ausgangsverbindungen  $NaF$ ,  $SnF_2$  und  $H_2O$  angegeben, die nach Auflösen in heissem Wasser beim Erkalten die Verbindungen (A) und (B) ergaben. Es ist unwahrscheinlich, dass im System noch eine dritte Verbindung der Zusammensetzung  $NaSnF_3$  auftritt. Das von Donaldson & O'Don-

oghue (1964) hierfür angegebene Pulverdiagramm ist mit dem Diagramm des  $\text{Na}_4\text{Sn}_3\text{F}_{10}$  identisch (Tabelle 1). Die Identität wurde auch mit Hilfe der Originalsubstanzen bestätigt.

### Experimentelles

Bei den angegebenen Molverhältnissen erhält man schöne dicke Säulen in Richtung c. Weissenberg- und Präzessionsaufnahmen mit  $\text{MoK}\alpha$ -Strahlung lieferten die Gitterkonstanten:

$$a=12,18; \quad b=18,47; \quad c=5,50 \text{ \AA}; \quad \beta=91^\circ.$$

Aus den Auslöschungen folgen die Raumgruppen  $C2/c$  ( $C_{2h}^6$ ) oder  $Cc$  ( $C_2^2$ ). Zur photometrischen Intensitätsmessung der 639 unabhängigen Reflexe im messbaren Bereich dienten integrierte Weissenbergauf-

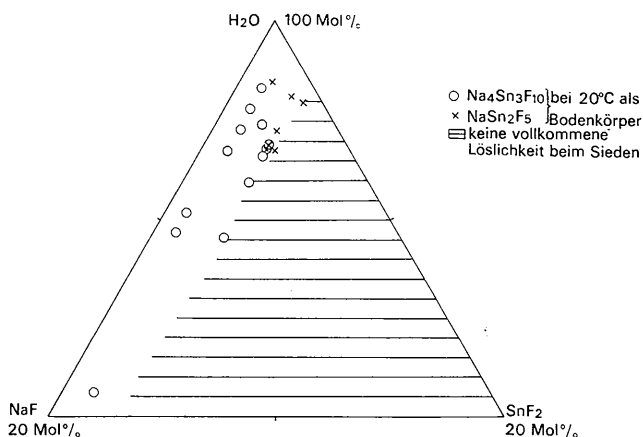


Fig. 1. System  $\text{NaF-SnF}_2\text{-H}_2\text{O}$

Tabelle 1. Pulveraufnahme des  $\text{Na}_4\text{Sn}_3\text{F}_{10}$  mit  $\text{CuK}\alpha$ -Strahlung

$I(1) = \log I$  berechnet nach Tabelle 3.

$\theta(1) = \theta$  berechnet aus den Gitterkonstanten.

$\theta(2) = \theta$  aus einer Zählrohrpulveraufnahme.

$I(2) =$  Intensitäten der Zählrohrpulveraufnahme.

$\theta(3) = \theta$  nach Donaldson & O'Donoghue (1964).

$I(3) =$  Intensitäten nach Donaldson & O'Donoghue (1964).

$h$	$k$	$l$	$I(1)$	$\theta(1)$	$\theta(2)$	$I(2)$	$\theta(3)$	$I(3)$
1	1	0	2,34	4,34	4,39	s		
0	2	0	1,87	4,78	4,84	s		
2	0	0	2,87	7,27	7,36	m	7,34	mst
1	3	0	3,16	8,06	8,15	st	8,18	st
2	2	0	3,10	8,72	8,81	st	8,90	mst
1	1	1	3,31	9,11	9,21	m	9,23	sst
1	1	1	2,12	9,27				
0	2	1	2,63	9,39				
0	4	0	2,96	9,61	9,70	st	9,75	m
3	1	0	2,33	11,21	11,32	s	10,75	ms
1	3	1	3,02	11,39				
1	3	1	2,53	11,48	11,51	s	11,63	m
2	2	1	3,49	11,83				
2	2	1	3,44	12,00	11,94	st	12,15	sst
2	4	0	2,09	12,10	12,40	st		
1	5	0	2,00	12,59	12,72	st	12,79	st
0	4	1	3,42	12,59				
3	3	0	2,59	13,15	13,27	m	13,37	s
3	1	1	2,61	13,75				
3	1	1	2,92	13,98	14,15	m	14,25	m
0	6	0	2,18	14,50	14,65	s		
2	4	1	2,54	14,53				
4	0	0	3,10	14,66	14,81	st	14,93	st
2	4	1	2,63	14,67				
1	5	1	2,58	14,99				
1	5	1	2,79	15,06	15,21	s	15,24	m
3	3	1	1,62	15,39				
4	2	0	1,61	15,46	15,51	s	15,62	m
3	3	1	1,61	15,60				
0	0	2	2,64	16,28				
2	6	0	3,14	16,29	16,44	st	16,57	st
3	5	0	1,45	16,39				
0	6	1	0,84	16,67				
1	1	2	1,91	16,82				
1	1	2	1,92	16,95				
0	2	2	1,28	17,01	17,15	ss	17,30	s
1	7	0	1,96	17,39				
4	4	0	2,60	17,65	17,54	s		
4	2	1	0,30	17,40				
4	2	1	1,79	17,65				
2	0	2	1,63	17,79	17,81	ss	17,94	ms

Tabelle 2. Parameter in der Raumgruppe C2/c

	Punktlage	x	y	z	B
Sn(1)	8(f)	0,2522 ± 0,0001	0,0814 ± 0,0001	0,6690 ± 0,0005	1,17 ± 0,05
Sn(2)	4(e)	0	0,1569 ± 0,0002	0,25	1,92 ± 0,07
Na(1)	8(f)	0,1714 ± 0,0008	0,2712 ± 0,0006	0,7497 ± 0,003	1,2 ± 0,2
Na(2)	4(e)	0	0,342 ± 0,001	0,25	2,9 ± 0,4
Na(3)	4(e)	0	0,546 ± 0,001	0,25	1,7 ± 0,3
F(1)	8(f)	0,120 ± 0,001	0,377 ± 0,001	0,541 ± 0,004	1,3 ± 0,3
F(2)	8(f)	0,165 ± 0,002	0,180 ± 0,001	0,428 ± 0,004	2,0 ± 0,3
F(3)	8(f)	0,107 ± 0,001	0,452 ± 0,001	0,118 ± 0,004	2,2 ± 0,4
F(4)	8(f)	0,232 ± 0,001	0,332 ± 0,001	0,120 ± 0,004	2,7 ± 0,4
F(5)	8(f)	0,041 ± 0,001	0,238 ± 0,001	0,016 ± 0,004	2,1 ± 0,4

Tabelle 3. Beobachtete und berechnete Strukturamplituden für Na<sub>4</sub>Sn<sub>3</sub>F<sub>10</sub>

Die Spalten geben nacheinander an: h, k und l, F<sub>o</sub> und F<sub>c</sub>.

h	k	l	F <sub>o</sub>	F <sub>c</sub>
1	1	-1	201	176
1	5	-1	127	107
1	7	-1	117	107
1	11	-1	91	73
1	13	-1	94	67
1	15	-1	127	123
1	17	-1	66	49
2	0	-0	185	173
2	2	-0	201	192
2	4	-0	93	69
2	6	-0	371	393
2	8	-0	177	209
2	10	-0	276	277
2	12	-0	177	184
2	14	-0	37	103
2	16	-0	28	107
2	18	-0	171	171
2	20	-0	177	168
2	22	-0	102	81
2	24	-0	87	88
3	1	-1	115	107
3	3	-1	170	164
3	5	-1	51	37
3	7	-1	51	37
3	9	-1	104	101
3	11	-1	147	151
3	13	-1	70	89
3	15	-1	463	469
3	17	-1	225	231
3	19	-1	121	112
3	21	-1	171	188
3	23	-1	56	107
3	25	-1	171	163
3	27	-1	113	121
3	29	-1	34	76
3	31	-1	36	45
3	33	-1	276	272
3	35	-1	110	104
3	37	-1	85	89
3	39	-1	94	88
3	41	-1	126	117
3	43	-1	20	5
3	45	-1	139	126
3	47	-1	80	80
3	49	-1	83	80
3	51	-1	276	272
3	53	-1	86	81
3	55	-1	338	359
3	57	-1	134	131
3	59	-1	194	186
3	61	-1	122	121
3	63	-1	88	87
3	65	-1	104	104
3	67	-1	172	176
3	69	-1	107	107
3	71	-1	67	57
3	73	-1	116	116
3	75	-1	113	112
3	77	-1	116	117
3	79	-1	113	107
3	81	-1	71	61
3	83	-1	92	84
3	85	-1	169	151
3	87	-1	149	149
3	89	-1	239	249
3	91	-1	149	149
3	93	-1	149	149
3	95	-1	149	149
3	97	-1	149	149
3	99	-1	149	149
3	101	-1	149	149
3	103	-1	149	149
3	105	-1	149	149
3	107	-1	149	149
3	109	-1	149	149
3	111	-1	149	149
3	113	-1	149	149
3	115	-1	149	149
3	117	-1	149	149
3	119	-1	149	149
3	121	-1	149	149
3	123	-1	149	149
3	125	-1	149	149
3	127	-1	149	149
3	129	-1	149	149
3	131	-1	149	149
3	133	-1	149	149
3	135	-1	149	149
3	137	-1	149	149
3	139	-1	149	149
3	141	-1	149	149
3	143	-1	149	149
3	145	-1	149	149
3	147	-1	149	149
3	149	-1	149	149
3	151	-1	149	149
3	153	-1	149	149
3	155	-1	149	149
3	157	-1	149	149
3	159	-1	149	149
3	161	-1	149	149
3	163	-1	149	149
3	165	-1	149	149
3	167	-1	149	149
3	169	-1	149	149
3	171	-1	149	149
3	173	-1	149	149
3	175	-1	149	149
3	177	-1	149	149
3	179	-1	149	149
3	181	-1	149	149
3	183	-1	149	149
3	185	-1	149	149
3	187	-1	149	149
3	189	-1	149	149
3	191	-1	149	149
3	193	-1	149	149
3	195	-1	149	149
3	197	-1	149	149
3	199	-1	149	149
3	201	-1	149	149
3	203	-1	149	149
3	205	-1	149	149
3	207	-1	149	149
3	209	-1	149	149
3	211	-1	149	149
3	213	-1	149	149
3	215	-1	149	149
3	217	-1	149	149
3	219	-1	149	149
3	221	-1	149	149
3	223	-1	149	149
3	225	-1	149	149
3	227	-1	149	149
3	229	-1	149	149
3	231	-1	149	149
3	233	-1	149	149
3	235	-1	149	149
3	237	-1	149	149
3	239	-1	149	149
3	241	-1	149	149
3	243	-1	149	149
3	245	-1	149	149
3	247	-1	149	149
3	249	-1	149	149
3	251	-1	149	149
3	253	-1	149	149
3	255	-1	149	149
3	257	-1	149	149
3	259	-1	149	149
3	261	-1	149	149
3	263	-1	149	149
3	265	-1	149	149
3	267	-1	149	149
3	269	-1	149	149
3	271	-1	149	149
3	273	-1	149	149
3	275	-1	149	149
3	277	-1	149	149
3	279	-1	149	149
3	281	-1	149	149
3	283	-1	149	149
3	285	-1	149	149
3	287	-1	149	149
3	289	-1	149	149
3	291	-1	149	149
3	293	-1	149	149
3	295	-1	149	149
3	297	-1	149	149
3	299	-1	149	149
3	301	-1	149	149
3	303	-1	149	149
3	305	-1	149	149
3	307	-1	149	149
3	309	-1	149	149
3	311	-1	149	149
3	313	-1	149	149
3	315	-1	149	149
3	317	-1	149	149
3	319	-1	149	149
3	321	-1	149	149
3	323	-1	149	149
3	325	-1	149	149
3	327	-1	149	149
3	329	-1	149	149
3	331	-1	149	149
3	333	-1	149	149
3	335	-1	149	149
3	337	-1	149	149
3	339	-1	149	149
3	341	-1	149	149
3	343	-1	149	149
3	345	-1	149	149
3	347	-1	149	149
3	349	-1	149	149
3	351	-1	149	149
3	353	-1	149	149
3	355	-1	149	149
3	357	-1	149	149
3	359	-1	149	149
3	361	-1	149	149
3	363	-1	149	149
3	365	-1	149	149
3	367	-1	149	149
3	369	-1	149	149
3	371	-1	149	149
3	373	-1	149	149
3	375	-1	149	149
3	377	-1	149	149
3	379	-1	149	149
3	381	-1	149	149
3	383	-1	149	149
3	385	-1	149	149
3	387	-1	149	149
3	389	-1	149	149
3	391	-1	149	149
3	393	-1	149	149
3	395	-1	149	149
3	397	-1	149	149
3	399	-1	149	149
3	401	-1	149	149
3	403	-1	149	149
3	405	-1	149	149
3	407	-1	149	149
3	409	-1	149	149
3	411	-1	149	149
3	413	-1	149	149
3	415	-1	149	149
3	417	-1	149	149
3	419	-1	149	149
3	421	-1	149	149
3	423	-1	149	149
3	425	-1	149	149
3	427	-1	149	149
3	429	-1	149	149
3	431	-1	149	149
3	433	-1	149	149
3	435	-1	149	149
3	437	-1	149	149
3	439	-1	149	149
3	441	-1	149	149
3	443	-1	149	149
3	445	-1	149	149
3	447	-1	149	149
3	449	-1	149	149
3	451	-1	149	149
3	453	-1	149	149
3	455	-1	149	149
3	457	-1	149	149
3	459	-1	149	149
3	461	-1	149	149
3	463	-1	149	149
3	465	-1	149	149
3	467	-1	149	149
3	469	-1	149	149
3	471	-1	149	149
3	473	-1	149	149
3	475	-1	149	149
3	477	-1	149	149
3	479	-1	149	149
3	481	-1	149	149
3	483	-1	149	149
3	485	-1	149	149
3	487	-1	149	149
3	489	-1	149	149
3	491	-1	149	149
3	493	-1	149	149
3	495	-1	149	149
3	497	-1	149	149
3	499	-1	149	149
3	501	-1	149	149
3	503	-1	149	149
3				

nahmen ( $\text{MoK}\alpha$ -Strahlung) der reziproken Gitterebenen  $hk0$  bis  $hk3$ , wobei jeweils mehrere Aufnahmen mit verschiedenen Zeiten belichtet wurden. Der für die Aufnahmen benutzte Kristall besass Begrenzungsflächen (110), (610) und (250) mit einem Umkreis vom Durchmesser 0,06 mm und einer Länge von 0,35 mm. Die Korrektur der Intensitäten mit Lorentz- und Polarisationsfaktor sowie auf Absorption und alle weiteren Rechnungen wurden mit einer Programmkette (Schultze-Rhonhof, 1966) durchgeführt, die auf Programmen von Scheringer (1963) bzw. Busing & Levy (1957) aufbaut, und die Atomformfaktoren von Cromer & Waber (1965) benutzt. Unter der Messbarkeitsgrenze liegende Intensitäten wurden mit  $\frac{2}{3}$  der niedrigsten Intensität eingesetzt.

### Strukturbestimmung

Während die Pattersonprojektion Zinnatome in einer acht und einer vierzähligen Punktlage der Raumgruppe  $C2/c$  zu lokalisieren gestattete, liessen sich in einer dreidimensionalen Pattersonsynthese nur die Maxima der achtzähligen Lage zuordnen. Eine Fouriersynthese mit hieraus folgenden Vorzeichen zeigte jedoch auch die vierzählige Zinnlage. Das Fehlen der Pattersonmaxima erklärt der durch den niedrigen  $l$ -Index bedingte Abbrucheffect, was eine Differenzpattersonsynthese bestätigte. Der Zuverlässigkeitsindex betrug hier  $R=26\%$  und eine anschliessende Fouriersynthese zeigte Maxima in zwei vierzähligen und sechs achtzähligen Punktlagen (insgesamt 56 Punkte) für 12 Natrium- und 36 Fluoratome (insgesamt 48 Leichtatome für 12 Formeleinheiten  $\text{NaSnF}_3$ ). Besetzt man eine der achtzähligen Punktlagen nicht, so sinkt der  $R$ -Wert zwar auf 15%, Differenzfouriersynthesen gestatten aber nicht, eine bestimmte achtzählige Punkt-

lage als nicht besetzt zu betrachten. Verteilt man jedoch 16 Natrium- und 40 Fluoratome auf die durch Maxima angezeigten Punktlagen, so fällt der  $R$ -Wert bei einer Verfeinerung nach der Methode der kleinsten Quadrate sprunghaft in ein ruhiges Minimum bei  $R=9,2\%$  für alle  $F(hkl)$  und die Differenzfouriersynthese ist sehr ausgeglichen. Für die so verlangte Zusammensetzung

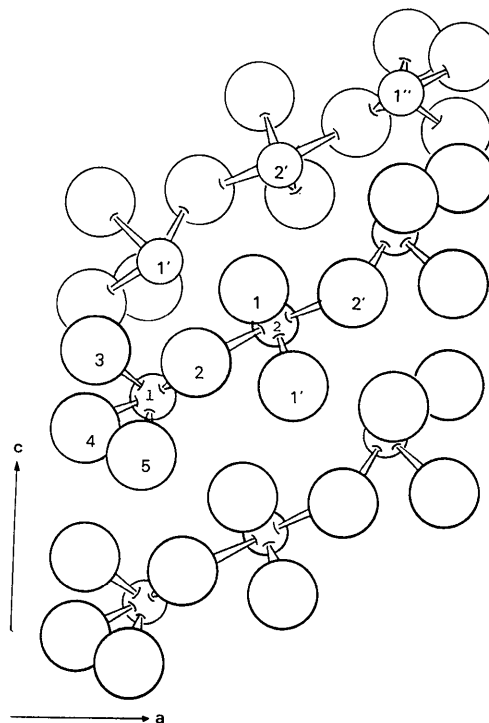


Fig. 2. Lage der  $\text{Sn}_3\text{F}_{10}^{4-}$  Gruppen im  $\text{Na}_4\text{Sn}_3\text{F}_{10}$ . (Kleine Kreise: Sn; grosse Kreise: F.)

Tabelle 4. Atomabstände (in  $\text{Å}$ ) und Bindungswinkel (in Grad) in einigen Fluorostannaten(II)

$E$ =endständiges Atom,  $B$ =Brückenatom,  $N$ =Nachbarn,  $G$ =gegenüberliegend, (Atom-Nr. laut Fig. 2 und 3)

	$\text{Na}_4\text{Sn}_3\text{F}_{10}$	$\text{NaSn}_2\text{F}_5$	$\text{KSnF}_3 \cdot \frac{1}{2}\text{H}_2\text{O}$
$\text{Sn}(2)-\text{F}(B)$	2,26 (2)	2,22	2,27
$\text{Sn}(1)-\text{F}(B)$	2,49 (2)	2,53	
$\text{Sn}(1)-\text{F}(E)$	2,11 (3)	2,08	2,05
	2,15 (4)	2,07	1,99
	1,99 (5)		
$\text{Sn}(2)-\text{F}(E)$	2,04 (1)		
$\text{F}(E)-\text{Sn}(1)-\text{F}(E)$	87,5 (3-5)	89,3	89,7
$\text{F}(E)-\text{Sn}(2)-\text{F}(E)$	85,7 (1-1')		
$\text{F}(B)-\text{Sn}(1)-\text{F}(B)$	145,9 (2-4)	142,3	156,0
$\text{F}(B)-\text{Sn}(2)-\text{F}(B)$	158,3 (2-2')		
$\text{F}(E)-\text{Sn}(1)-\text{F}(B)$	75,5 (2-3)	84,1	78,5
	75,7 (2-5)	81,2	85,5
	79,1 (4-3)	74,0	
	80,9 (4-5)	69,0	
$\text{F}(E)-\text{Sn}(2)-\text{F}(B)$	84,8 (2-1)		
	79,3 (2-1')		
$\text{Sn}(1)-\text{F}(B)-\text{Sn}(2)$	117,4	134,4	
$\text{Sn}-\text{Sn}(N)$	4,07	4,41	3,97
	4,08		
$\text{Sn}-\text{Sn}(G)$	6,04	4,41	4,66
$\text{Na}-\text{F}$	2,24	2,21	
	und grösser		

zung  $\text{Na}_4\text{Sn}_3\text{F}_{10}$  ergibt sich ein plausibler kristallchemischer Aufbau. Die theoretische Dichte von  $3,42 \text{ g.cm}^{-3}$  stimmt mit einem experimentellen Wert von  $3,34 \text{ g.cm}^{-3}$  gut überein. Da die analytischen Daten für  $\text{NaSnF}_3$  und  $\text{Na}_4\text{Sn}_3\text{F}_{10}$  nicht so sehr verschieden voneinander sind, dürfte die Existenz einer Phase  $\text{Na}_4\text{Sn}_3\text{F}_{10}$  gesichert sein. Die Parameter des letzten Verfeinerungszyklus zeigt Tabelle 2, beobachtete und berechnete Strukturamplituden Tabelle 3 (mit  $F_{\text{beo}} = 0$

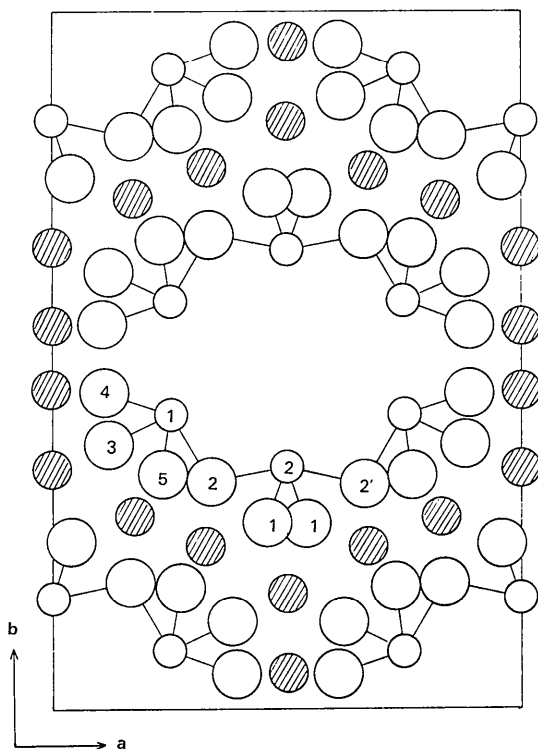


Fig. 3. Projektion der  $\text{Na}_4\text{Sn}_3\text{F}_{10}$ -Struktur in Richtung c auf die ab-Ebene. (Kleine Kreise: Sn; grosse Kreise: F; schraffierte Kreise: Na.)

aufgeführte Reflexe fallen in den Schatten des Nullstrahlängers).

### Diskussion der Struktur

Die Koordinationsfigur des Zinns ist eine verzerrte vierseitige Pyramide mit Zinn an der Spitze und vier Fluoratomen in der Basis. Atomabstände und Winkel gehen aus Tabelle 4 hervor, in der die Werte der beiden andern bekannten Fluorokomplexe  $\text{NaSn}_2\text{F}_5$  (McDonald, Larson & Cromer, 1964) und  $\text{KSnF}_3 \cdot \frac{1}{2}\text{H}_2\text{O}$  (Bergerhoff, Goost & Schultze-Rhonhof, 1968) ebenfalls aufgeführt sind. Im  $\text{Na}_4\text{Sn}_3\text{F}_{10}$  sind die Pyramiden durch gemeinsame Fluoratome zu Dreiergruppen verknüpft (Fig. 2), die, einander mit den Zinnatomen auf Lücke gegenüberliegend, einen leeren Kanal durch die Struktur in Richtung c umschliessen. Dies macht die Projektion (Fig. 3) besonders deutlich. Die Struktur zeigt damit bei Fluorostannaten(II) ein drittes Mal die Bauelemente: verknüpfte vierseitige Pyramiden, Zinnatome in direkter Nachbarschaft, leere Kanäle durch die Struktur.

Die Mittel für die Untersuchung stellten die Deutsche Forschungsgemeinschaft und der Fonds der Chemie zur Verfügung. Sämtliche Rechnungen wurden im Rheinisch-Westfälischen Institut für Instrumentelle Mathematik durchgeführt.

### Literatur

- BERGERHOFF, G., GOOST, L. & SCHULTZE-RHONHOF, E. (1968). *Acta Cryst.* **B24**, 803.  
 BUSING, W. R. & LEVY, H. A. (1957). *Acta Cryst.* **10**, 180.  
 CROMER, D. T. & WABER, J. T. (1965). *Acta Cryst.* **18**, 104.  
 DONALDSON, J. D. & O'DONOGHUE, J. D. (1964). *J. Chem. Soc.*, p. 271.  
 McDONALD, R. R., LARSON, A. C. & CROMER, D. T. (1964). *Acta Cryst.* **17**, 1104.  
 SCHERINGER, C. (1963). *Acta Cryst.* **16**, 546.  
 SCHULTZE-RHONHOF, E. (1966). *World List of Crystallographic Computer Programs*, No. 5063–5068. Utrecht: Oosthoek.